

PASADOR AUTOPERFORANTE

PUNTA AHUSADA

La nueva punta autoperforante ahusada reduce al mínimo los tiempos de inserción en sistemas de conexión madera-metal y garantiza aplicaciones en posiciones difíciles de alcanzar (fuerza de aplicación reducida).

MAYOR RESISTENCIA

Resistencias al corte superiores a las de la versión anterior. El diámetro de 7,5 mm garantiza resistencias al corte superiores a las de otras soluciones del mercado y permite optimizar el número de fijaciones.

DOBLE ROSCA

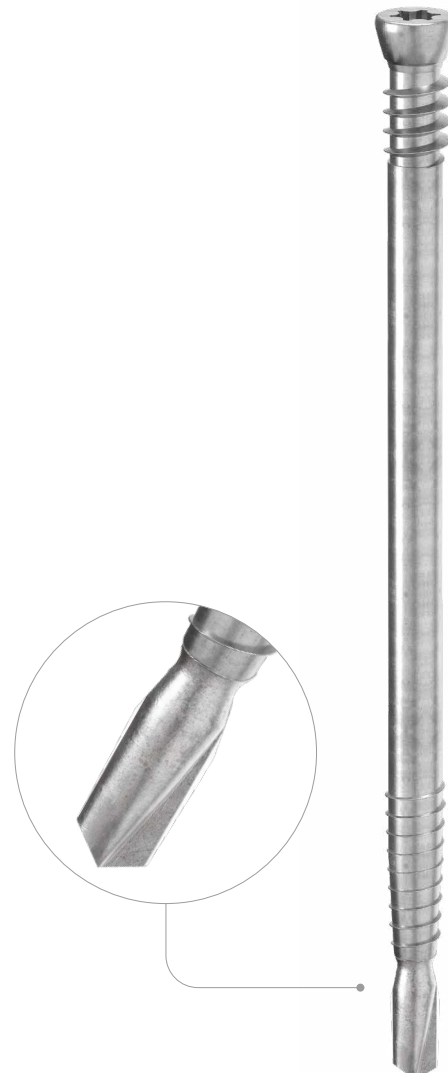
La rosca cercana a la punta (b_1) facilita el atornillado. La rosca bajo cabeza (b_2) de longitud aumentada permite un cierre rápido y preciso de la unión.

CABEZA CILINDRICA

Permite que el pasador penetre más allá de la superficie de la capa de madera. Garantiza un excelente efecto estético y permite satisfacer los requisitos de resistencia al fuego.



DIÁMETRO [mm]	3,5	(7,5)	8
LONGITUD [mm]	25	(55)	235 240
CLASE DE SERVICIO	SC1	SC2	
CORROSIVIDAD ATMOSFÉRICA	C1	C2	
CORROSIVIDAD DE LA MADERA	T1	T2	
MATERIAL	Zn ELECTRO PLATED	acero al carbono electrogalvanizado	



VÍDEO

Escanea el código QR y mira el video en nuestro canal de YouTube

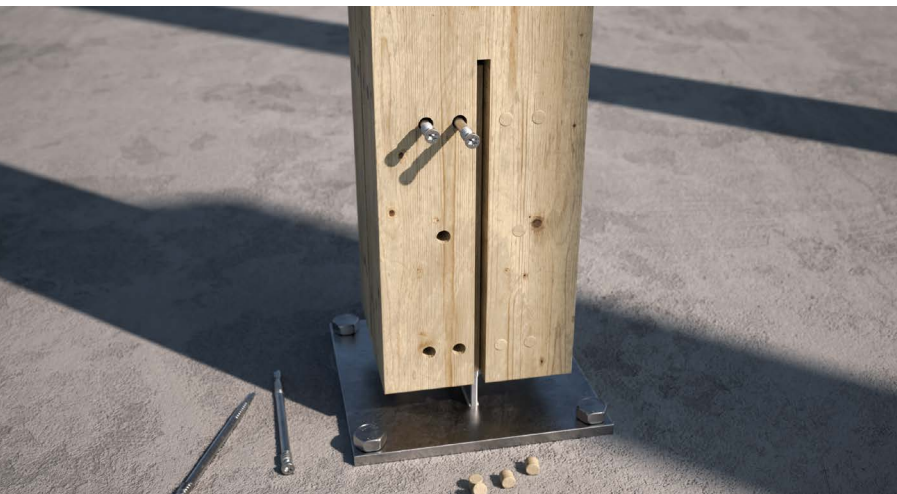


CAMPOS DE APLICACIÓN

Sistema autoperforante para uniones ocultas madera-acero y madera-aluminio.

Se puede utilizar con atornilladores de 600-2100 rpm, fuerza mínima aplicada 25 kg, con:

- acero S235 \leq 10,0 mm
- acero S275 \leq 10,0 mm
- acero S355 \leq 10,0 mm
- soportes ALUMINI, ALUMIDI y ALUMAXI

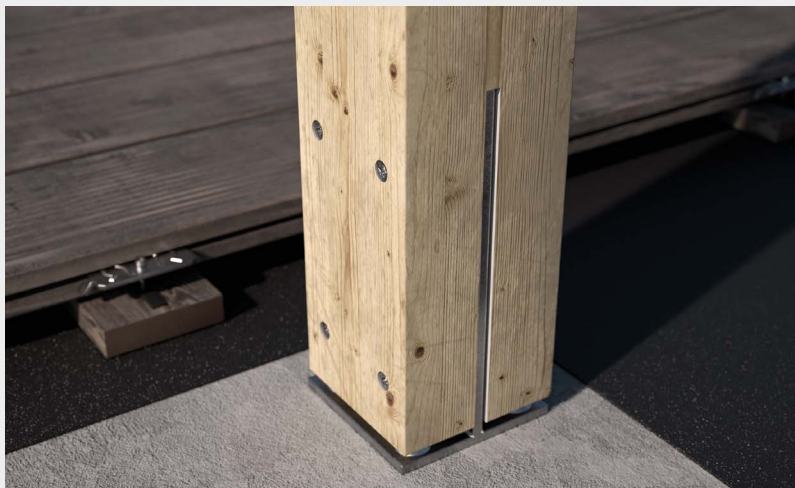


RESTABLECIMIENTO DEL MOMENTO

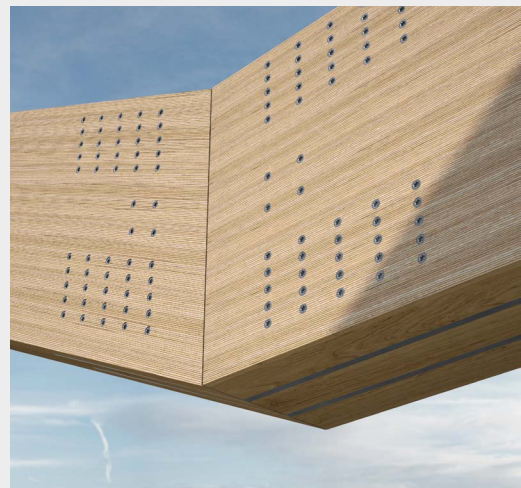
Restablece las fuerzas de corte y de momento en las uniones ocultas en la mitad de vigas de grandes dimensiones.

VELOCIDAD EXCEPCIONAL

El único pasador que perfora una placa S355 de 5 mm de espesor en 20 segundos (aplicación horizontal con una fuerza aplicada de 25 kg). Ningún pasador autoperforante supera la velocidad de aplicación del SBD con su nueva punta.



↑ Fijación del pie de pilar Rothoblaas de hoja interna F70.



↑ Unión rígida con doble placa interior (LVL).

CÓDIGOS Y DIMENSIONES

SBD L ≥ 95 mm

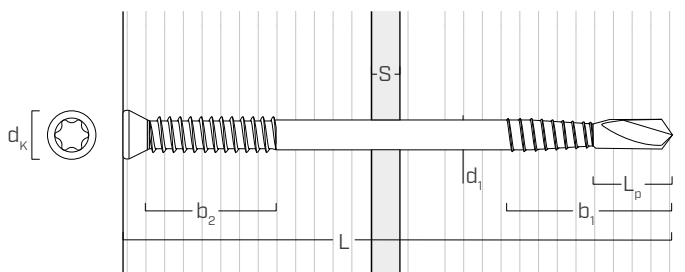
	d ₁ [mm]	CÓDIGO	L [mm]	b ₁ [mm]	b ₂ [mm]	unid.
		SBD7595	95	40	10	50
		SBD75115	115	40	10	50
		SBD75135	135	40	10	50
7,5		SBD75155	155	40	20	50
TX 40		SBD75175	175	40	40	50
		SBD75195	195	40	40	50
		SBD75215	215	40	40	50
		SBD75235	235	40	40	50

SBD L ≤ 75 mm

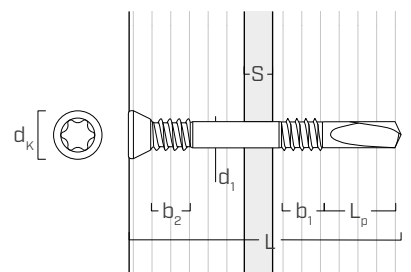
	d ₁ [mm]	CÓDIGO	L [mm]	b ₁ [mm]	b ₂ [mm]	unid.
	7,5	SBD7555	55	-	10	50
	TX 40	SBD7575	75	8	10	50

GEOMETRÍA Y CARACTERÍSTICAS MECÁNICAS

SBD L ≥ 95 mm



SBD L ≤ 75 mm

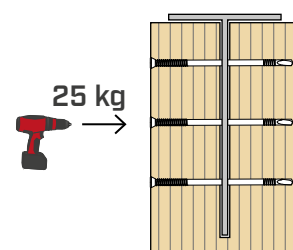
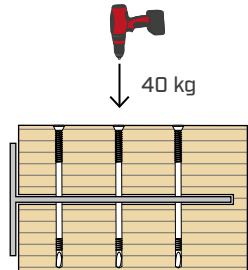


Diámetro nominal	d ₁ [mm]		7,5	7,5
Diámetro cabeza	d _k [mm]		11,00	11,00
Longitud punta	l _p [mm]		20,0	24,0
Longitud eficaz	l _{eff} [mm]		L-15,0	L-8,0
Momento plástico característico	M _{y,k} [Nm]		75,0	42,0

INSTALACIÓN | PLACA DE ALUMINIO

placa	placa individual [mm]
ALUMINI	6
ALUMIDI	6
ALUMAXI	7

Se sugiere tener un fresado en la madera con un espesor igual al espesor de la placa aumentado por lo menos en 1 mm.



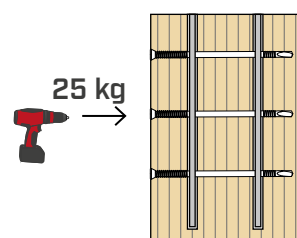
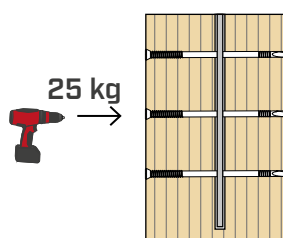
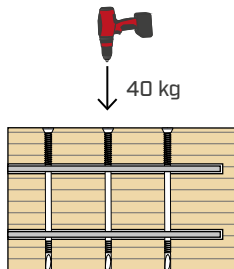
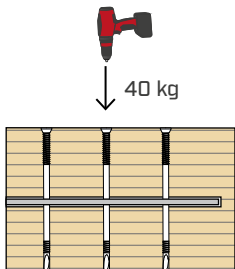
presión a aplicar	40 kg
atornillador aconsejado	Mafell A 18M BL
velocidad aconsejada	1° marcha (600-1000 rpm)

presión a aplicar	25 kg
atornillador aconsejado	Mafell A 18M BL
velocidad aconsejada	1° marcha (600-1000 rpm)

INSTALACIÓN | PLACA DE ACERO

placa	placa individual [mm]	placa doble [mm]
acero S235	10	8
acero S275	10	6
acero S355	10	5

Se sugiere tener un fresado en la madera con un espesor igual al espesor de la placa aumentado por lo menos en 1 mm.



presión a aplicar	40 kg
atornillador aconsejado	Mafell A 18M BL
velocidad aconsejada	2° marcha (1000-1500 rpm)

presión a aplicar	25 kg
atornillador aconsejado	Mafell A 18M BL
velocidad aconsejada	2° marcha (1500-2000 rpm)

DUREZA DE LA PLACA

La dureza de la placa de acero puede hacer que los tiempos de penetración de los pasadores varíen mucho.



De hecho, la dureza se define como la resistencia del material a la perforación o al corte.

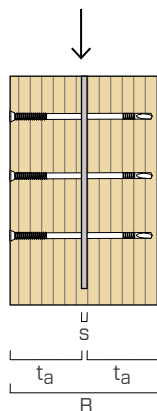
En general, cuanto mayor sea la dureza de la placa, mayor será el tiempo de perforación.

La dureza de la placa no siempre depende de la resistencia del acero, sino que puede variar de un punto a otro y está fuertemente influida por los tratamientos térmicos: las placas normalizadas tienen una dureza media-baja, mientras que el proceso de temple confiere al acero durezas elevadas.

VALORES ESTÁTICOS MADERA-METAL-MADERA

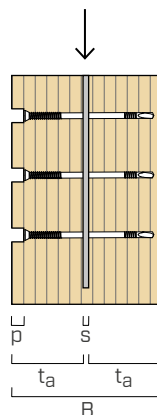
VALORES CARACTERÍSTICOS
EN 1995:2014

1 PLACA INTERNA - PROFUNDIDAD INSERCIÓN CABEZA PASADOR 0 mm



		7,5x55	7,5x75	7,5x95	7,5x115	7,5x135	7,5x155	7,5x175	7,5x195	7,5x215	7,5x235	
ancho viga	B [mm]	60	80	100	120	140	160	180	200	220	240	
profundidad inserción cabeza	p [mm]	0	0	0	0	0	0	0	0	0	0	
madera externa	t_a [mm]	27	37	47	57	67	77	87	97	107	117	
R_{v,k} [kN]	ángulo fuerza-fibra	0°	7,48	9,20	12,10	12,88	12,41	15,27	16,69	17,65	18,41	18,64
		30°	6,89	8,59	11,21	11,96	11,56	13,99	15,23	16,42	17,09	17,65
		45°	6,41	8,09	10,34	11,20	10,86	12,96	14,05	15,22	16,00	16,62
		60°	6,00	7,67	9,62	10,58	10,27	12,10	13,07	14,12	15,08	15,63
		90°	5,66	7,31	9,01	10,04	9,77	11,37	12,24	13,18	14,19	14,79

1 PLACA INTERNA - PROFUNDIDAD INSERCIÓN CABEZA PASADOR 15 mm

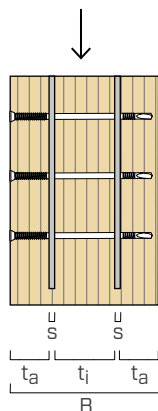


		7,5x55	7,5x75	7,5x95	7,5x115	7,5x135	7,5x155	7,5x175	7,5x195	7,5x215	7,5x235	
ancho viga	B [mm]	80	100	120	140	160	180	200	220	240	-	
profundidad inserción cabeza	p [mm]	15	15	15	15	15	15	15	15	15	-	
madera externa	t_a [mm]	37	47	57	67	77	87	97	107	117	-	
R_{v,k} [kN]	ángulo fuerza-fibra	0°	8,47	9,10	11,92	12,77	13,91	15,22	16,66	18,02	18,64	-
		30°	7,79	8,49	11,17	11,86	12,82	13,95	15,20	16,54	17,43	-
		45°	7,25	8,00	10,55	11,11	11,93	12,92	14,02	15,20	16,31	-
		60°	6,67	7,58	10,03	10,48	11,19	12,06	13,04	14,09	15,21	-
		90°	6,14	7,23	9,59	9,95	10,56	11,33	12,21	13,16	14,17	-

VALORES ESTÁTICOS MADERA-METAL-MADERA

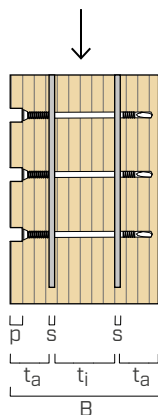
VALORES CARACTERÍSTICOS
EN 1995:2014

2 PLACAS INTERNAS - PROFUNDIDAD INSERCIÓN CABEZA PASADOR 0 mm



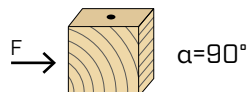
		7,5x55	7,5x75	7,5x95	7,5x115	7,5x135	7,5x155	7,5x175	7,5x195	7,5x215	7,5x235
ancho viga	B [mm]	-	-	-	-	140	160	180	200	220	240
profundidad inserción cabeza	p [mm]	-	-	-	-	0	0	0	0	0	0
madera externa	t_a [mm]	-	-	-	-	45	50	55	60	70	75
madera interna	t_i [mm]	-	-	-	-	38	48	58	68	68	78
R_{v,k} [kN]	ángulo fuerza-fibra	0°	-	-	-	-	20,07	22,80	25,39	28,07	29,24
		30°	-	-	-	-	18,20	20,91	23,19	25,56	26,55
		45°	-	-	-	-	16,67	19,36	21,39	23,51	24,36
		60°	-	-	-	-	15,41	18,01	19,90	21,81	22,55
		90°	-	-	-	-	14,35	16,73	18,64	20,38	21,01
											22,89

2 PLACAS INTERNAS - PROFUNDIDAD INSERCIÓN CABEZA PASADOR 10 mm



		7,5x55	7,5x75	7,5x95	7,5x115	7,5x135	7,5x155	7,5x175	7,5x195	7,5x215	7,5x235
ancho viga	B [mm]	-	-	-	140	160	180	200	220	240	-
profundidad inserción cabeza	p [mm]	-	-	-	10	10	10	10	10	10	-
madera externa	t_a [mm]	-	-	-	50	55	60	65	70	75	-
madera interna	t_i [mm]	-	-	-	28	38	48	58	68	78	-
R_{v,k} [kN]	ángulo fuerza-fibra	0°	-	-	-	16,56	20,07	22,80	25,39	28,07	30,53
		30°	-	-	-	15,07	18,20	20,91	23,19	25,56	27,99
		45°	-	-	-	13,86	16,67	19,36	21,39	23,51	25,69
		60°	-	-	-	12,85	15,41	18,01	19,90	21,81	23,78
		90°	-	-	-	12,00	14,35	16,73	18,64	20,38	22,17

DISTANCIAS MÍNIMAS PARA PASADORES SOLICITADOS AL CORTE



d_1 [mm]	7,5
a_1 [mm]	$5 \cdot d$
a_2 [mm]	$3 \cdot d$
$a_{3,t}$ [mm]	max(7·d ; 80 mm)
$a_{3,c}$ [mm]	max(3,5·d ; 40 mm)
$a_{4,t}$ [mm]	$3 \cdot d$
$a_{4,c}$ [mm]	$3 \cdot d$

d_1 [mm]	7,5
a_1 [mm]	$3 \cdot d$
a_2 [mm]	$3 \cdot d$
$a_{3,t}$ [mm]	max(7·d ; 80 mm)
$a_{3,c}$ [mm]	max(3,5·d ; 40 mm)
$a_{4,t}$ [mm]	$4 \cdot d$
$a_{4,c}$ [mm]	$3 \cdot d$

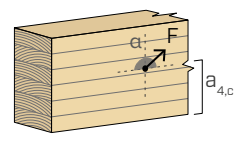
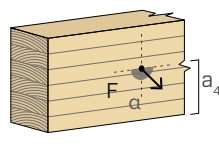
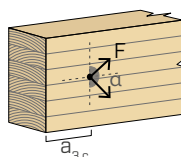
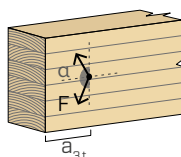
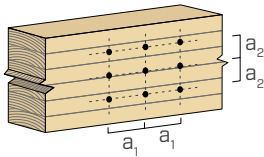
α = ángulo entre fuerza y fibras
 $d = d_1$ = diámetro nominal pasador

extremidad solicitada
 $-90^\circ < \alpha < 90^\circ$

extremidad descargada
 $90^\circ < \alpha < 270^\circ$

borde solicitado
 $0^\circ < \alpha < 180^\circ$

borde descargado
 $180^\circ < \alpha < 360^\circ$



NOTAS

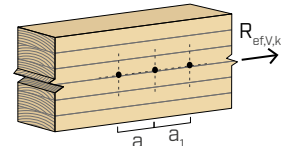
- Las distancias mínimas para conectores solicitados al corte están en línea con la norma EN 1995:2014.

NÚMERO EFICAZ PARA PASADORES SOLICITADOS AL CORTE

La capacidad portante de una conexión realizada con varios pasadores, todos del mismo tipo y tamaño, puede ser inferior a la suma de las capacidades portantes de cada conector.

Para una fila de n pasadores dispuestos paralelamente a la dirección de la fibra ($\alpha = 0^\circ$) a una distancia a_1 , la capacidad portante característica eficaz es igual a:

$$R_{ef,V,k} = n_{ef} \cdot R_{V,k}$$



El valor de n_{ef} se indica en la siguiente tabla en función de n y de a_1 .

n	$a_1^{(*)}$ [mm]								
	40	50	60	70	80	90	100	120	140
2	1,49	1,58	1,65	1,72	1,78	1,83	1,88	1,97	2,00
3	2,15	2,27	2,38	2,47	2,56	2,63	2,70	2,83	2,94
4	2,79	2,95	3,08	3,21	3,31	3,41	3,50	3,67	3,81
5	3,41	3,60	3,77	3,92	4,05	4,17	4,28	4,48	4,66
6	4,01	4,24	4,44	4,62	4,77	4,92	5,05	5,28	5,49

(*)Para valores intermedios de a_1 se puede interpolar de forma lineal.

VALORES ESTÁTICOS

PRINCIPIOS GENERALES

- Valores característicos según la norma EN 1995:2014.
 - Los valores de proyecto se obtienen a partir de los valores característicos de la siguiente manera:
- $$R_d = \frac{R'_k \cdot k_{mod}}{\gamma_M}$$
- Los coeficientes γ_M y k_{mod} se deben tomar de acuerdo con la normativa vigente utilizada para el cálculo.
- Valores de resistencia mecánica y geometría de los pasadores de acuerdo con el marcado CE según EN 14592.
 - Los valores proporcionados están calculados con placas de 5 mm de espesor y un fresado de la madera de 6 mm de espesor. Los valores se refieren a un pasador SBD.
 - El dimensionamiento y el cálculo de los elementos de madera y de las placas de acero deben efectuarse por separado.
 - Los pasadores deben colocarse respetando las distancias mínimas.
 - La longitud eficaz de los pasadores SBD ($L \geq 95$ mm) tiene en cuenta la reducción del diámetro cerca de la punta autoperforante.

NOTAS

- En la fase de cálculo se ha considerado una masa volúmica de los elementos de madera equivalente a $p_k = 385 \text{ kg/m}^3$.

Para valores de p_k diferentes, las resistencias indicadas en las tablas lado madera pueden convertirse mediante el coeficiente $k_{dens,v}$

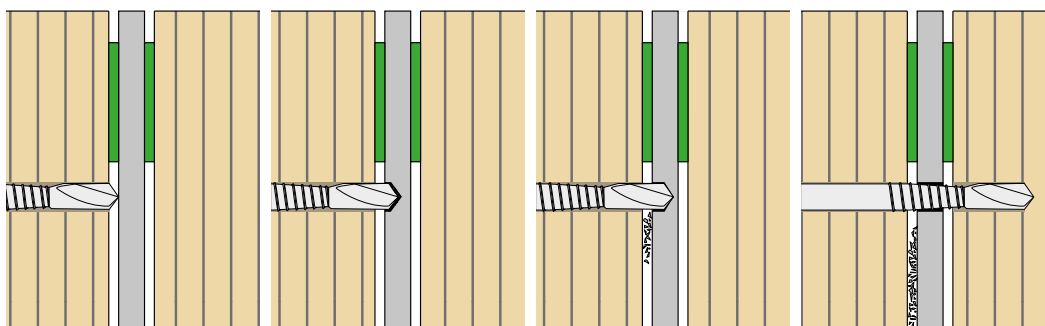
$$R'_{V,k} = k_{dens,v} \cdot R_{V,k}$$

p_k [kg/m^3]	350	380	385	405	425	430	440
C-GL	C24	C30	GL24h	GL26h	GL28h	GL30h	GL32h
$k_{dens,v}$	0,90	0,98	1,00	1,02	1,05	1,05	1,07

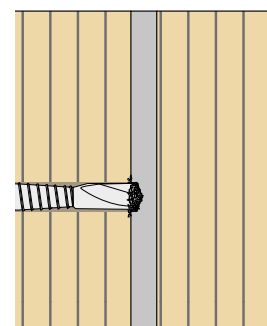
Los valores de resistencia determinados de esta manera pueden diferir, en favor de la seguridad, de los obtenidos mediante un cálculo exacto.

INSTALACIÓN

Se sugiere tener **un fresado en la madera con un espesor igual al espesor de la placa, aumentado por lo menos en 1-2 mm**, colocando los distanciadores SHIM entre la madera y la placa para centrarla en el fresado. De esta forma, los residuos de acero producidos al perforar el metal tienen una vía para salir y no obstruir el paso de la punta a través de la placa, con lo cual se evita el sobrecalentamiento de la placa y de la madera y, por tanto, también la generación de humo durante la instalación.



Fresa aumentada en 1 mm por lado.



Virutas que obstruyen los agujeros en el acero durante la perforación (distanciadores no instalados).

Para evitar la rotura de la punta en el momento del contacto pasador-placa, se aconseja **llegar lentamente a la placa, empujando con menor fuerza hasta el momento del impacto y, luego, aumentarla hasta el valor aconsejado** (40 kg para aplicaciones de arriba abajo y 25 kg para instalaciones en horizontal). Intentar mantener el pasador lo más perpendicular posible a la superficie de la madera y de la placa.



Punta intacta después de la correcta instalación del pasador.



Punta rota (cortada) debido a una fuerza excesiva durante la fase de impacto con el metal.

Si la placa de acero es demasiado dura, la punta del pasador puede reducirse significativamente o incluso fundirse. En este caso, se aconseja controlar los certificados del material, comprobando los tratamientos térmicos o los ensayos de dureza realizadas. Intentar disminuir la fuerza aplicada o, en alternativa, cambiar el tipo de placa.



Punta fundida durante la instalación en una placa demasiado dura sin distanciadores entre la madera y la placa.



Reducción de la punta durante la perforación de la placa debido a la dureza elevada de la placa.